FENOMENA HALO BERDASARKAN MODEL RELATIVISTIC MEAN FIELD (RMF)

A. M. Nugraha^{1*}), J. P. Diningrum¹), N. Liliani¹), T. Sumaryada²), A. Sulaksono¹)

¹Departemen Fisika, FMIPA, Universitas Indonesia, Depok 16424 ²Departemen Fisika, FMIPA, Institut Pertanian Bogor, Bogor 16680

*) Email: alpi.mahisha@gmail.com

Abstrak

Halo merupakan salah satu fenomena unik yang terjadi di inti atom, fenomena yang digambarkan adanya tambahan "ekor" dan adanya "ruang kosong" antara core dan ekor pada distribusi neutron. Metode analisa halo yang dikembangkan oleh V. Rotival dkk [Phys. Rev. C79, 054308 (2009)] pada isotop Cr, biasanya diaplikasikan pada model Hartree-Fock-Bogoliubov (HFB). Berbeda dengan Rotrival dkk, kami menggunakan model Relativistic Mean Field (RMF) pada penelitian ini. Berbeda dengan hasil perhitungan dengan model HFB, kami mengamati perilaku yang berbeda pada level $1g_{9/2}$ seiring dengan kemunculan halo. Selain itu, pada model RMF prediksi keberadaan halo pada isotop Cr lebih besar dibandingkan dengan prediksi berdasarkan model HFB $(N_{Relo})_{RMF} > (N_{Relo})_{REB})$. Pada penelitian ini kami juga mempelajari efek suku cross coupling meson ω - ρ , tensor dan suku pertukaran elektromagnetik pada model RMF terhadap kemunculan halo pada isotop Cr.

Abstract

Halo is one of the unique phenomena that occur in atomic nucleus. In halo nucleus, the neutron density displays an unusually "tail" and "existing empty space" between the core and the tail of the nucleus. New analysis method to investigate halo was developed by V. Rotival, *et al.* [Phys. Rev. C79, 054308 (2009)]. The method was used to search the halo nuclei in the chain of Cr-isotopes within Hartree-Fock-Bogoliubov (HFB) model. Unlike the Rotival, *et al.*, we use here the Relativistic Mean Field (RMF) model as the framework. We observed that the significant changing of $1g_{9/2}$ level behavior is in line with appearancing of halo. Moreover, we have also found that in the case of Cr isotopes, the neutron halo number prediction based RMF model is greater than that of HFB model $(N_{Ralo})_{RMF} > (N_{Ralo})_{RFB})$. In this work we also study the effects of cross coupling meson ω - ρ , tensor, and electromagnetic exchange terms in RMF model on the appearancing of halo in Crisotopes.

Keywords: Halo phenomena, RMF model, Cross coupling meson ω - ρ , Tensor, Electromagnetic exchange.

1. Pendahuluan

Studi mengenai tingkah laku nuklir baik pada nuklir ringan, sedang, maupun berat menjadi daya tarik tersendiri bagi fisikawan nuklir saat ini. Hal ini diakibatkan kemajuan yang pesat dari fasilitas-fasilitas eksperimen dalam menyelidiki partikel nuklir radioaktif yang tidak stabil[1]. Kemajuan eksperimen ini membuka penelitian struktur dari nuklir tidak hanya pada garis kestabilan beta (β), tetapi juga pada daerah yang jauh dari kestabilan β seperti fenomena halo nuklir[2]. Dalam sistem tersebut, baik distribusi proton atau pun neutron memperlihatkan kejadian yang tidak biasa berupa penambahan ekor pada distribusi neutron akibat energi ikat nukleon yang lemah[3].

Terdapat beberapa pemodelan yang digunakan untuk menggambarkan struktur dan

tingkah laku nuklir seperti energi ikat inti, distribusi inti, dan jari-jari inti. Salah satu pemodelan yang telah dianggap cukup baik dalam menggambarkan tingkah laku inti adalah Relativistic Mean Field (RMF)[4]. Namun, model ini masih belum banyak digunakan dalam mempelajari fenomena halo nuklir dibanding dengan model Hartree-Fock-Bogoliubov (HFB)[5][6][7]. Berdasarkan hal tersebut, kami terdorong untuk mengkaji fenomena halo nuklir dengan model RMF yang telah dimodifikasi dengan penambahan suku interaksi coupling meson ..., suku interaksi coupling antara meson $\omega - \rho$, dan sukusuku tensor serta penambahan suku pertukaran elektromagnetik. Perhitungan fenomena halo pada isotop Cr berdasarkan model ini akan dibandingkan dengan hasil perhitungan berdasarkan model HFB yang telah dilakukan oleh V. Rotival, dkk[5][6].

1.1 Relativistic Mean Field (RMF)

Secara makroskopik, sifat-sifat dari partikel tunggal dan inti atom dapat ditentukan oleh harga rata-rata dari kontribusi setiap penyusunnya yakni proton dan neutron (nukleon). Hingga saat ini, model RMF adalah salah satu model yang cukup baik untuk melihat beberapa fenomena nuklir[4]. Melalui model ini kita dapat memperoleh besaran properti nuklir yang akan digunakan dalam mempelajari fenomena halo.

Besaran properti nuklir ini dihasilkan dengan melibatkan interaksi kuat yang terjadi, yang dimodelkan dalam bentuk pertukaran meson antar nukleon dalam inti atom. Meson-meson yang dominan antara lain meson σ merupakan meson skalar-isoskalar yang bersifat atraktif dan meson δ yang merupakan meson skalarisovektor. Selain itu juga terdapat terdapat meson ω yang merupakan meson vektorisoskalar yang bersifat repulsif, dan meson p merupakan meson vektor-isovektor yang bergantung pada efek isospin dari inti atom, serta photon γ yang menggambarkan interaksi elektromagnetik[8]. Medan-medan ini dapat berdasarkan momentum diklasifikasikan angular internal, paritas dan isospin[9].

1.2 Formalisme RMF

Model medan rata-rata relativistic (RMF) digambarkan dalam bentuk kerapatan Lagrangian \mathcal{L} . Pada pendekatan ini \mathcal{L} terdiri dari bagian nukleon, meson, interaksi antara nukleon-meson,interaksi meson-meson, elektromagnetik dan pertukarannya. Atau secara eksplisit dapat ditulis sebagai berikut: $\mathcal{L}_{RMF} = \mathcal{L}_N + \mathcal{L}_M + \mathcal{L}_M^{g_1} + \mathcal{L}_M^{g_1} + \mathcal{L}_T + \mathcal{L}_M^{g_2} + \mathcal{L}_M^{g_1} + \mathcal{L}_M^{g_2} + \mathcal{L}_M^{g_1} + \mathcal{L}_M^{g_2} + \mathcal{L}_M^{g_2} + \mathcal{L}_M^{g_1} + \mathcal{L}_M^{g_2} + \mathcal{L}_M^{g_2} + \mathcal{L}_M^{g_2} + \mathcal{L}_M^{g_1} + \mathcal{L}_M^{g_2} + \mathcal{L}_M^{g_2} + \mathcal{L}_M^{g_2} + \mathcal{L}_M^{g_1} + \mathcal{L}_M^{g_2} + \mathcal{L}_M^{g$

$$\mathcal{L}_{RMF} = \mathcal{L}_N + \mathcal{L}_M + \mathcal{L}_{RIN}^g + \mathcal{L}_{RI}^g + \mathcal{L}_T + \mathcal{L}_{RI}^\omega + \mathcal{L}_{RI}^{\omega} + \mathcal{L}_{RI$$

adanya tambahan faktor \mathcal{L}^4_ω dan $\mathcal{L}^4_{p\omega}$ menunjukkan interaksi self coupling meson ω dan interaksi cross coupling antara meson ω dengan meson ρ dan \mathcal{L}^{EM}_{eMC} yang merupakan pertukaran elektromagnetik[9]. Adapun fungsi untuk masing-masing kerapatan Lagrangian sebagai berikut:

$$\mathcal{L}_{N} = \sum_{j=1}^{A} \overline{\psi_{j}} \left(i \gamma^{\mu} \partial_{\mu} - M \right) \psi_{j}, \qquad (1a)$$

$$\mathcal{L}_{M} = \frac{1}{2} \left(\partial_{\mu} \phi \partial^{\mu} \phi - m_{\sigma}^{2} \phi^{2} \right) - \frac{1}{2} \left(\frac{1}{2} V_{\mu\nu} V^{\mu\nu} - m_{\omega}^{2} V_{\mu} V^{\mu} \right) - \frac{1}{2} \left(\frac{1}{2} R_{\mu\nu} R^{\mu\nu} - m_{\sigma}^{2} R_{\mu} R^{\mu} \right) + \frac{1}{2} \left(\partial_{\mu} \vec{d} \partial^{\mu} \vec{d} - m_{\delta}^{2} \vec{d}^{2} \right) - \frac{1}{2} \partial^{\nu} A^{\mu} \partial_{\nu} A_{\mu}$$
(1b)

$$\mathcal{L}_{lin}^{g} = \sum_{j=1}^{A} \overline{\psi_{j}} \left(g_{\sigma} \phi - g_{\omega} V_{\mu} \gamma^{\mu} + \frac{1}{2} g_{\sigma} R_{\mu} \gamma^{\mu} \tau + g_{\sigma} \vec{d} - e A^{\mu} \frac{1+\tau_{0}}{2} \gamma^{\mu} \right) \psi_{j}, \qquad (1c)$$

$$\mathcal{L}_{ni}^{\sigma} = -\left(\frac{k_3}{a_{N}}g_{\sigma}m_{\sigma}^2\phi^2 + \frac{k_4}{z_{AN^2}}g_{\sigma}^2m_{\sigma}^2\phi^4\right),$$
 (1d)

$$\begin{split} \mathcal{L}_T &= -\sum_{j=1}^A \overline{\psi_j} \left(\frac{f_{\omega}}{2M} \partial^{\nu} V^{\mu} i \gamma_{\mu} \gamma_{\nu} + \right. \\ &\left. \frac{f_{\omega}}{4M} \partial^{\nu} R^{\mu} \iota i \gamma_{\mu} \gamma_{\nu} \right) \psi_j \,, \end{split} \tag{1e}$$

 $\mathcal{L}_{nl}^{\omega} = \frac{1}{24} \varsigma_0 g_{\omega}^2 (V_{\mu} V^2)^2. \qquad (1f)$

$$\mathcal{L}_{\tilde{m}} = \frac{1}{24} \varsigma_0 g_{\tilde{\omega}} (V_{\mu} V^{\mu})^{-}. \tag{11}$$

$$\mathcal{L}_{nl}^{\rho\omega} = \frac{\eta_{2\rho}}{4M^2} g_{\omega}^2 m_{\rho}^2 V_{\mu} V^{\mu} R_{\mu} R^{\mu} , \qquad (1g)$$

$$\mathcal{L}_{exo}^{EM} = C_{exo}^{EM} \left[\frac{3}{4} e^2 \left(\frac{3}{\pi} \right)^{\frac{1}{2}} \right]$$

$$\rho_p^{\frac{4}{3}} \left[1 - \frac{2}{3M^2} (3\pi^2 \rho_p)^{2/3} \right].$$
 (1h)

Dengan M adalah massa nukleon, m_{σ} , m_{δ} , mω, dan mo, masing-masing adalah massa meson skalar isoskalar (σ), massa meson skalar isovektor (δ), massa meson vektor isoskalar (ω), dan massa meson vektor isovektor (ρ). Sedangkan 💠 , V, R, 🤞 masing-masing adalah harga ekspektasi untuk medan meson skalar isoskalar (σ), meson vektor isoskalar (ω), meson vektor isovektor (ρ), dan meson scalar isovektor (δ). A adalah medan photon, g_{σ} , g_{δ} , g_{ω} , dan g_{σ} masingmasing adalah konstanta kopling medan meson skalar isoskalar (σ), meson scalar isovektor (δ), meson vektor isoskalar (ω), dan meson vektor isovektor (p). f_{ω} , dan f_{ρ} menyatakan tensor kopling untuk meson ω dan meson ρ . Serta η_{z_0} adalah konstanta cross kopling meson ω dan meson

Persamaan (1) akan diselesaikan dengan persamaan Euler-Lagrange untuk memperoleh persamaan gerak dan kemudian kerapatan Hamiltonian dihitung untuk memperoleh fungsi energi RMF yang berupa:

Energy Kivit yang berupa.

$$E_{RMF} = \int d^3r \left\{ \frac{1}{2} g_{\sigma} \phi \rho_z - m_{\sigma}^2 \phi^2 - \frac{1}{12} \frac{k_2}{M} g_{\sigma} m_{\sigma}^2 \phi^3 - \frac{k_1}{M^2} g_{\sigma}^2 m_{\sigma}^2 \phi^4 - V_0 \left(\frac{1}{2} g_{\omega} \rho_0 + \frac{3}{2} \frac{k_2}{M} \rho_0^T \right) + m_{\omega}^2 V_0^2 - R_0 \left(\frac{1}{4} g_{\rho} \rho_{0,0} + \frac{3}{4} \frac{f_{\rho}}{M} \rho_{0,0}^T \right) + m_{\rho}^2 R_0^2 + \frac{1}{2} g_{\delta} \vec{d} \rho_{s,0} - m_{\sigma}^2 \vec{d}^2 - A_0 \left(\frac{1}{2} e \rho_{p,0} - \frac{1}{2} \frac{e}{M} \rho_{p,0}^T \right) + \frac{5}{4} \frac{\eta_1}{M} g_{\sigma} m_{\omega}^2 V_0^2 \phi + \frac{3}{4} \frac{\eta_2}{M^2} g_{\sigma}^2 m_{\omega}^2 V_0^2 \phi^2 + \frac{3}{4} \frac{\eta_2}{M^2} g_{\omega}^2 m_{\rho}^2 V_0^2 R_0^2 - C_{exc}^{\rho M} \left[\frac{1}{2} e^2 \left(\frac{9}{\pi} \right)^{1/2} \right] \rho_p^{4/2} \left[1 - \frac{1}{1M^2} (3\pi^2 \rho_p)^{2/2} \right] \right\}.$$
(2)

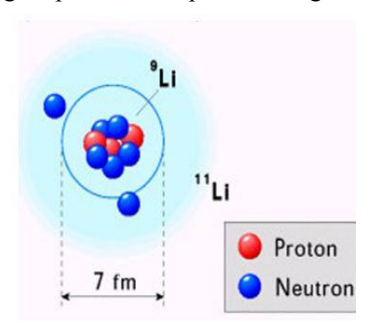
Dari energi funsional ini semua properti dari inti yang *spherical* dapat diturunkan.

1.3 Fenomena halo

Pada inti yang tidak stabil dapat terjadi sebuah atau lebih neutron yang berada di permukaan inti atau dengan kata lain kulit inti tidak penuh terisi. Pada keadaan ini sering dijumpai kemuculan fenomena halo, yaitu keadaan adanya satu atau dua neutron yang berada pada permukaan terluar dari inti dengan ikatan yang lemah[3]. Hal ini dikarenakan adanya distribusi neutron yang tidak merata yang merupakan fungsi dari jari-jari inti. Fenomena halo dapat dilihat seperti pada Gambar 1.

Menurut A.S. Jensen[10] keadaan mekanika quantum halo ditunjukan dengan:

- (1) Adanya ruang ekstensi besar yang menunjukkan adanya probabilitas keberadaan nukleon yang cukup besar pada daerah terlarang.
- (2) Mendominasinya sruktur kluster yang disebabkan akibat besar probabilitas yang lebih dari setengah probabilitas pada konfigurasi ini.



Gambar 1. Fenomena halo pada Lithium (Li).

Fenomena halo sering ditemukan pada nuklir ringan seperti Lt¹¹[11]. Tidak hanya di nuklir ringan, halo pun dapat muncul pada intiinti sedang seperti isotop Cr[5][6], bahkan ada yang mencoba untuk menghitung halo pada inti berat menggunakan gaya Gogne[12]. Salah satu teori perhitungan matematis untuk melihat halo adalah teori Helm[2], namun teori ini memiliki keterbatasan dan diperbaiki dengan teori analisa yang lebih baru[6] yang telah diujikan untuk menghitung halo pada Lt¹¹, isotop Cr, dan isotop Sn.

$$0.35 \le \frac{\log u_{10} \rho(r_{0})}{\log u_{10} \rho(r_{max})} \le 0.50 , \qquad (3)$$
becaran sebagai karakter dari halo dalam

salah satu besaran sebagai karakter dari halo dalam teori ini adalah jumlah rata-rata nukleon yang berada di wilayah ekor yang didefinisikan N_{halo}

$$N_{halo} \equiv 4\pi \int_{r_0}^{+\infty} \rho^n(r) r^2 dr, \qquad (4)$$

dan besaran \deltahalo dimana

$$\delta_{halo} \equiv R_{r,m,s,tot}^n - R_{r,m,s,tore}^n,$$
 (5)

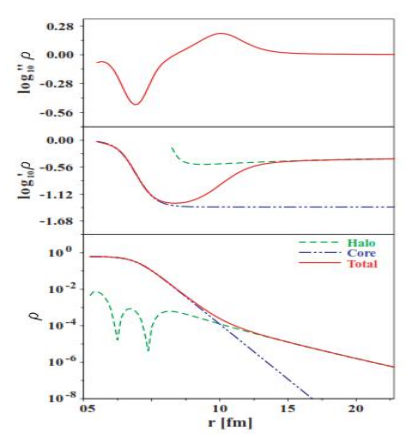
dengan

$$R_{r,m,s,tot}^{n} = \int_{0}^{\frac{1}{2} \cos \rho^{m}(r)} \frac{r^{4} dr}{\int_{0}^{+\infty} \rho^{m}(r) r^{2} dr},$$
 (6)

dan

$$R_{r,m,s\,core}^{n} = \sqrt{\frac{\int_{0}^{r_{0}} \rho^{n}(r) \, r^{4} \, dr}{\int_{0}^{r_{0}} \rho^{n}(r) \, r^{2} \, dr}} \,. \tag{7}$$

Pada penelitian ini, kami akan menghitung M_{halo} dengan δ_{halo} untuk isotop Cr berdasarkan model RMF.



Gambar 2. Distribusi nukleon pada salah satu isotop Cr[6]. Halo yang dimaksud adalah halo neutron.

2. Metode Penelitian

Pada penelitian ini, kami melakukan perhitungan analitik dan numerik menggunakan model RMF yang telah termodifikasi. Perhitungan analitik dimulai dengan menurunkan kerapatan Lagrangian dari model RMF untuk menentukan fungsi energi dan properti nuklir sedangkan perhitungan numerik digunakan untuk mengeksekusi fungsi yang telah dihitung tersebut dengan kondisi self consistent. Persamaan RMF divariasikan agar kita dapat tensor, efek efek pertukaran elektromagnetik dan efek interaksi cross coupling meson ρ dan meson ω. Variasi parameter set tersebut adalah:

Var1 : $\eta_{2\rho} = 0.00$ - Tensor -Exchange

Var2 : $\eta_{2p} = 0.00 + \text{Tensor} + \text{Exchange}$

Var3 : $\eta_{20} = 0.00 + \text{Tensor - Exchange}$

Var4 : $\eta_{ZP} = 0.04 + \text{Tensor - Exchange}$

Var5 : $\eta_{2g} = 0.055 + \text{Tensor -Exchange}$

Var6 : $\eta_{2\beta} = 0.04 + \text{Tensor} + \text{Exchange}$

Var7 : $\eta_{2a} = 0.06 + \text{Tensor} + \text{Exchange}$

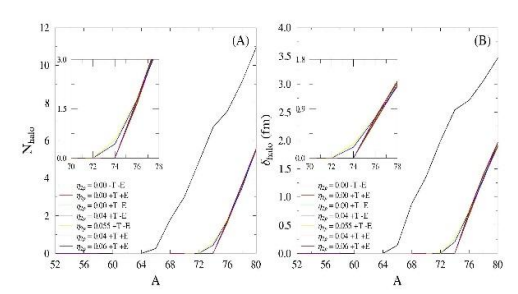
keadaan -(+)Tensor adalah f_{ω} dan $f_{\rho} = (\neq)0$, sedangkan -(+) Exchange berarti $C_{\phi NO}^{EN} = (\neq)0$.

Perhitungan RMF akan menghasilkan properti nuklir dan kemudian akan kita analisa lebih lanjut. Besaran yang menunjukkan halo akan dihitung untuk masing-masing variasi dengan menggunakan persamaan (4) dan persamaan (5). Dikarenakan hasil dari RMF untuk (N) bersifat kekal, maka persamaan (4) diperlukan pengali bilangan normalisasi dan selanjutnya diperoleh N_{hala} dan \mathcal{S}_{hala} . Bilangan normalisasi ini diperoleh dengan menggunakan algoritma bisection. Perhitungan numerik RMF dan perhitungan halo menggunakan program fortran, matlab, dan scilab.

3. Hasil dan Pembahasan

3.1 N_{halo} dan δ_{halo} isotop Cr

Isotop Cr (Z=24) merupakan salah satu kandidat yang baik dari inti sedang untuk mempelajari fenomena halo yang terjadi di daerah neutron *dripline*.



Gambar 3. (A) N_{RαIo} dan (B) δ_{RαIo} pada isotop Cr berdasarkan model RMF.

Pada Gambar 3(A), tampak kontribusi dari suku cross coupling meson &-meson , suku tensor, dan elektromagnetik suku pertukaran sangat berpengaruh dalam perilaku nuklir terlebih lagi pada daerah neutron dripline yang terkait dengan fenomena halo. Hilangnya semua suku tersebut membuat halo muncul setelah $A \ge 64$ atau $N \ge 40$. dimana N=40 bukanlah *magic number*. Namun hal yang berbeda terlihat ketika satu atau lebih dari suku di atas tersebut berkontribusi pada persamaan RMF. Halo muncul pada $A \ge 74$ atau $N \ge 50$ yang mana N=50 merupakan magic number dan dapat disimpulkan bahwa pada isotop Cr24 dalam kondisi close shell.

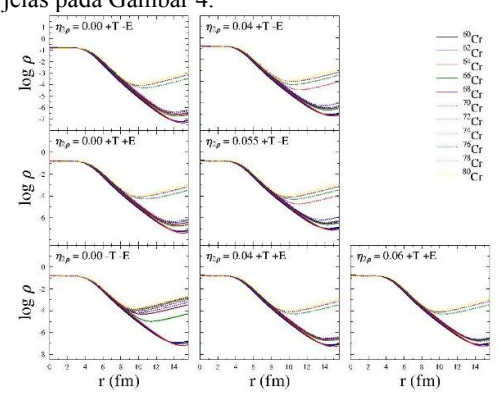
Hal unik terlihat jika parameter set var4 dan var5 digunakan, halo muncul setelah Cr_{24}^{72} , salah satu dampak akibat hilangnya suku pertukaran elektromagnetik adalah adanya sejumlah neutron yang terlepas ke daerah neutron dripline sehingga

terbentuk halo meski berdasarkan hasil perhitungan besar N_{halo} relatif kecil. Hal ini menunjukkan pada penggunaan parameter set var4 dan var5, meskipun isotop Cr_{24}^{74} dalam keadaan *close shell* sesuai dengan jumlah neutron yang merupakan *magic number* ternyata halo dapat muncul pada keadaan tersebut. Namun, ketika adanya penambahan suku pertukaran elektromagnetik diperhitungkan membuat kondisinya berbeda, sejumlah neutron tersebut menjadi tertarik ke dalam *core* pada isotop Cr_{24}^{74} sehingga tidak ada kemunculan halo.

Gejala serupa juga dapat diamati pada nilai \mathcal{E}_{kalo} , seperti yang terlihat pada Gambar 3(B). \mathcal{E}_{halo} adalah selisih dari $\mathcal{R}^n_{r,m,s}$ total dengan $\mathcal{R}^n_{r,m,s}$ core, Besaran inilah yang digunakan untuk menunjukkan adanya "ruang kosong" antara core dan ekor secara eksplisit pada distribusi neutron. Tentu saja, semakin besar halo (N_{halo}) yang muncul mengindikasikan ruang kosong antara core dan ekor pun semakin besar juga.

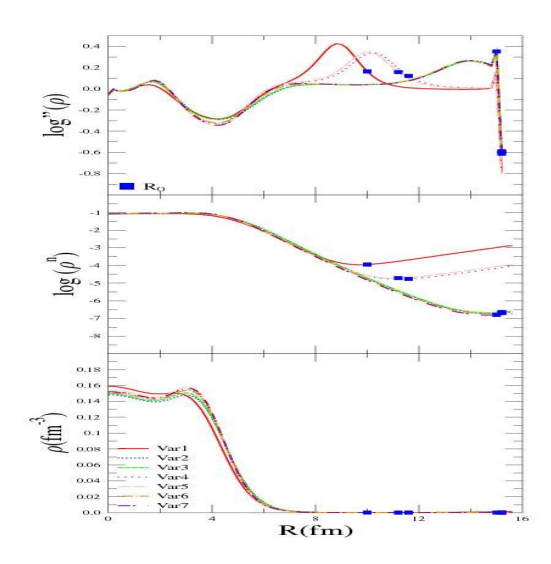
3.2 Analisa wilayah halo

Telah dijelaskan bahwa halo ditunjukkan dengan adanya perubahan gradien atau kemiringan dari kurva ρ yang merupakan fungsi dari jari-jari inti.Untuk isotop Cr hal ini dapat dilihat dengan jelas pada Gambar 4.



Gambar 4. $\log \rho(r)$ menunjukkan perubahan gradien di $r \ge 8 fm$.

Anggapan bahwa isotop Cr *close shell* pada Cr_{24}^{74} tidak didukung dengan hasil perhitungan pada beberapa parameter set, untuk menganalasi lebih dalam kita dapat melihat bagaimana perilaku pada isotop tersebut untuk semua variasi yang ditunjukkan pada Gambar 5.



Gambar 5. Analisa kurva distribusi pada Cr_{12}^{74} . Besaran R_0 memiliki pengertian fisis berupa jari-jari terluar core. Semakin besar nilai R_0 menandakan semakin sedikitnya kemunculan halo pada parameter set tersebut. Pendeknya R_0 pada parameter set varl menjelaskan mengapa halo muncul untuk $N \ge 40$ padahal variasi lain belum memperlihatkan fenomena halo. Parameter set lainnya memiliki $R_0 \approx 15 \ fm$ yang artinya Cr_{24}^{74} dalam keadaan $close\ shell$ dan tidak adanya halo yang muncul. Namun pada parameter set var4 dan var5 menunjukkan pengaruh ketidakberadaan suku pertukaran elektromagnetik yang mengakibatkan jari-jari core mengecil dan halo muncul lebih awal.

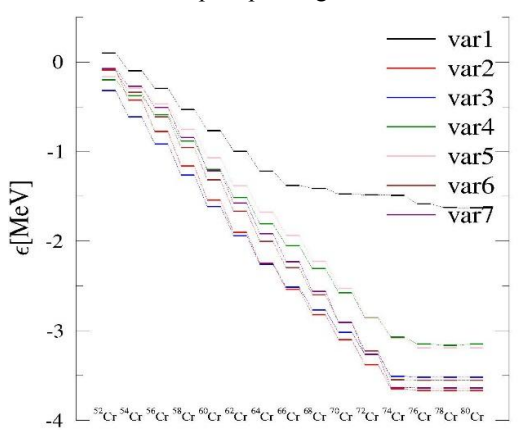
3.3 Spektrum energi partikel tunggal

Analisa spektrum energi partikel tunggal akan memperlihatkan bagian level mana yang memiliki kontribusi terbesar dalam kemunculan halo. Namun uniknya tidak ada perubahan spektrum yang signifikan pada daerah dekat energi Fermi. Perubahan yang signifikan terjadi pada level 1, 1, 2, 2 dengan besar € sekitar -0.2 MeV dan terus semakin negatif seiring penambahan jumlah neutron dalam isotop.

Perubahan spektrum energi menunjukkan kuatnya kontribusi level tersebut terhadap distribusi nukleon dan tentu saja kemunculan halo. Nilai energi pada level ini terus semakin negatif yang diikuti dengan meningkatnya besar occupation number pada level tersebut, artinya penambahan partikel pada level tersebut membuat level tersebut semakin negatif dan semakin lebih "disukai" untuk ditempati ketika ada penambahan partikel selanjutnya.

Melihat perilaku level $\mathbf{1g_{9/2}}$ pada Gambar 6, semakin besar gap antara level $\mathbf{1g_{9/2}}$ dengan energi Fermi sepanjang penambahan neutron. Semakin besar gap energi tersebut biasanya menandakan adanya energi ikat yang semakin kuat. Hal ini

berarti semakin banyak penambahan neutron, neutron tersebut akan lebih tertarik ke dalam *core* sedangkan neutron pada level dengan energi lebih besar dari level $1g_{\tau/2}$ tertahan. Keadaan ini berdampak δ_{halo} atau ruang kosong semakin besar dan semakin besar pula peluang kemunculan halo.



Gambar 6. Spektrum energi partikel tunggal level $\mathbf{1}g_{9/2}$.

Parameter set var1 yang tidak melibatkan kesuluruhan suku interaksi menunjukkan perubahan level $\mathbf{1g_{9/2}}$ yang cukup landai pada $\mathbf{Cr_{24}^{64}}$ dimana pada isotop ini halo muncul. Hal ini berarti bahwa kemunculan halo ditandai dengan landainya spektrum energi pada level $\mathbf{1g_{9/2}}$ seiring bertambahnya neutron. Tentu saja hal ini juga terlihat pada parameter set lain, dan keunikan pun terlihat juga pada analisa spektrum energi pada parameter set var4 dan var5 karena spektrum energi level $\mathbf{1g_{9/2}}$ melandai lebih cepat dan hal ini sesuai dengan kenyataan bahwa fenomena halo muncul lebih awal pada kedua parameter set ini.

4. Kesimpulan

Suku *cross copling* antara meson ω - meson ρ, suku pertukaran elektromagnetik, dan suku tensor tentu saja memiliki peran penting dalam kemunculan halo. Bahkan hilangnya pengaruh ketiga suku ini membuat halo muncul lebih cepat yang artinya semakin besar pula "ruang kosong" dalam inti pada isotop Cr. Pada Cr₂₄ dengan jumlah neutron adalah *magic number* seharusnya kondisi Cr₂₄ close shell. Namun ketika suku pertukaran elektromagnetik dihilangkan, halo muncul pada isotop ini meski N_{bolo} cukup kecil.

muncul pada isotop ini meski N_{halo} cukup kecil.

Kontribusi level $1g_{9/2}$ memegang peran yang cukup besar terhadap peluang kemunculan halo. Selama perubahan energi level ini tidak siginifikan dan gap dengan energi Fermi semakin besar maka kemungkinan kemuncul halo relatif kecil. Namun ketika spektrum energi pada level $1g_{9/2}$ mulai landai maka kemungkinan kemunculan halo menjadi relatif lebih besar.

Daftar Acuan

- [1] A. C. Mueller, An Overview of Radioactive Beam Facilities, EPAC, Vienna (2000).
- [2] S. Mizutori, et al, *Nuclear Skins and Halos in the Mean-Field Theory*, Phys. ReV. C61,044326 (2000).
- [3] T. Misu, et al, *Deformed Nuclear Halos*, Nucl. Phys. A614 (1997), p. 44-70.
- [4] S. R. Nodari, The Relativistic Mean Field equation of the Atomic Nucleus, arXiv:1101.1399v1[mathph](2011).
- [5] V. Rotival, et al, Halo Phenomenon in Finite Many Fermion System: Atom-Positron Complexes and Large-Scale Study of Atomic Nuclei, Phys. ReV. C79, 054309 (2009).
- [6] V. Rotival and T. Duguet, New Analysis Method of the Halo Phenomenon in Finite Many-Fermion Systems: First Application to Medium-mass atomic nuclei, Phys. ReV. C79, 054308 (2009).
- [7] J. Terasaki, et al, Giant Halos in Relativistic and Non-Relativistic approaches, Phys. ReV. C74, 054318 (2006).
- [8] Greiner and Maruhn, *Nuclear Models*, Springer, Berlin (1996), p. 261-266.
- [9] A. Sulaksono, Electromagnetic and Isovector Terms in Standard Relativistic Mean Field Models, Int. Jornal of Modern Phys. E. Vol 20, No. 9 (2011).
- [10] A. S. Jensen and M. V. Zhukov, Few-Body effects in Nuclear Halos. Nucl. Phys. A639 (2011), p. 411-423.
- [11] S. Karatglidis, et al, Alternative Evaluation of Halo Nuclei, Phys. ReV. C61, 02439 (2000).
- [12] B. Nerlo-Pamorska, et al. The Neutron Halo in Heavy Nuclei Calculated with The Gogny Force, Eur. Phys. J. A. 8 (2000), p. 19-29.